

کاربرد روش "فعال سازی نوترونی" در کشف مواد منفجره پلاستیکی

سیدهاشم میری حکیم‌آباد، رحیم‌کوهی فایق و محمد‌هادی هادی زاده یزدی

گروه فیزیک دانشکده علوم، دانشگاه فردوسی مشهد
مشهد، ایران، ۹۱۷۳۵-۶۵۴

(دریافت مقاله: ۷۸/۵/۲۴ دریافت نسخه نهایی: ۷۸/۱۲/۱۸)

چکیده

شناسایی وسائل مسافران خطوط هوایی یا بسته‌های پستی، از نظر وجود بمبهای پلاستیکی در آنها، با استفاده از کاونده‌های نوترونی مورد بررسی قرار می‌گیرد. مواد منفجره از نظر مقدار ازت بسیار غنی هستند. ازت با استفاده از پرتوهای گاما با انرژی $10/83 \text{ MeV}$ حاصل از جذب نوترونهای حرارتی قابل شناسایی است. ابتدا این روش به صورت نظری بررسی می‌شود، یعنی با محاسبات ترابرد توأم نوترون و پرتوهای گاما آنی حاصل از برهمکنشهای نوترون به روش مونت - کارلو و استفاده از کد محاسباتی MCNP، طیف پرتوهای گاما آنی با استفاده از شبیه سازی مونت - کارلو به دست می‌آید. بنابراین، فاصله‌ها و مکانهای بهینه چشم، آشکارساز و نمونه نسبت به یکدیگر و نیز ضخامت مناسب کنده‌کننده، بالحظ کردن اثر مهم انباست تعیین می‌شوند. سپس، با مدل مبتنی بر یافته‌های عددی در قسمت قبل، کارهای عملی با استفاده از چشمۀ نوترون Am-Be انجام می‌گیرد. در عمل، به دلیل نقش چشم و اثر انباست، شرایط بهینه محاسباتی تغییر داده می‌شود، و طرح اولیه، براساس نتایج عملی، مورد تجدید نظر قرار می‌گیرد. از مجموع برسیهای به عمل آمده و تأثیر عوامل مختلف بر پاسخ آشکارسازها و تحلیل نتایج به دست آمده برای دو نوع کنده‌کننده پارافین و گرافیت، میزان توانمندی این روش نقد می‌شود.

واژه‌های کلیدی: فعال سازی نوترونی، مواد منفجره، مونت کارلو

۱. مقدمه

حدود یک میلیارد مسافر در سال با هوایپیماهای مسافربری به گوش و کنار جهان مسافرت می‌کنند و، از نظر ایمنی، کیف و چمدان هر مسافر باید کنترل شود، زیرا بروز حوادث ناگوار ناشی از پنهان کردن مواد منفجره توسط مسافران هوایپیماها امری است که در گذشته زیاد اتفاق افتاده و احتمال بروز آن در آینده نیز متفقی نیست. سقوط پرواز 103 Pan Am بر فراز لاتری اسکاتلند ناشی از یک تا دو کیلوگرم ماده منفجره بوده است. چنین مقدار کمی از مواد منفجره را به راحتی می‌توان در مقدار زیادی مواد بی خطر پنهان کرد. آیا راهی برای جلوگیری از

پستخانه‌ها استفاده کرد.

مواد منفجره عموماً حاوی ترکیبات ازت هستند و، در نتیجه، با تشخیص وجود ازت در داخل یک بسته یا کیف می‌توان به احتمال وجود مواد انفجاری در آن پی برد. ازت با استفاده از پرتوهای گامای $10/83 \text{ MeV}$ حاصل از جذب نوترونهای حرارتی یا پرتوهای گامای $2/31 \text{ MeV}$ ناشی از پراکندگی ناکشسان نوترونهای سریع شناسایی می‌شود. سطح مقطع گیراندازی N^{13} برای نوترونهای حرارتی در حدود $0/75$ بارن است. پرتوهای گامای آنی که پس از جذب نوترون از هسته برانگیخته N^{15} گسیل می‌شوند دارای انرژی $10/83 \text{ MeV}$ هستند. از آنجاکه N^{15} هسته پایداری است، هیچ گامای تأخیری ایجاد نمی‌کند. از طرفی سطح مقطع N^{18} برای جذب نوترونهای حرارتی $4/0004$ بارن است پس حتی در صورت جذب نوترون توسط هسته‌های N^{15} که منجر به تشکیل ایزوتوپ پرتوزای N^{16} با نیم عمر $7/2$ ثانیه می‌شود. میزان پرتوهای گامای تأخیری در مقایسه با پرتوهای گامای آنی بسیار کم و غیرقابل آشکارسازی خواهد بود. مهمترین ویژگی پرتوهای گامای آنی حاصل از جذب نوترون در ازت، انرژی بالای آنهاست که مانع از تداخل آنها با پرتوهای گامای حاصل از برهmekش نوترون با عناصر دیگر و همچنین پرتوهای گامای زمینه می‌گردد و راحت‌تر قابل تشخیص است.

۲. برسیهای نظری

توزیع نوترون در محیط را نمی‌توان جز در برخی موارد ساده با حل معادله پخش به دست آورد. برای تعیین شار وابسته به انرژی و مکان نوترون و گاما، به حل معادله تراپردازی توأم نوترون و گاما در دستگاه نیاز داریم. از طرفی شکل و شرایط مستقله و تعداد گروههای انرژی لازم برای تعیین طیف پرتوهای گاما، به کارگیری روشهای مبتنی بر حل معادله تراپرداز را بسیار مشکل و در برخی موارد غیرممکن می‌سازد، لذا اغلب از شبیه سازی مونت کارلو استفاده می‌شود. با توجه به طبیعت کاتورهای برهmekشی هسته‌ای، شبیه سازی مونت کارلو بسیار واقعی و دور از کلیه تقریبهای مربوط به روشهای محاسباتی دیگر است، زیرا در این روش کلیه فرایندها مطابق آنچه در عالم واقع رخ می‌دهد دنبال می‌شوند و احتمال هر رویداد با توجه به مقادیر تجربی، در قالب سطح مقطع، تعیین می‌گردد. در این پژوهه شبیه

آشکارسازی ازت می‌توان از بمباران نوترونی استفاده کرد. فوتون گامای گسیل شده با انرژی معین در اثر جذب نوترون در ازت را می‌توان توسط آشکارساز شناسایی و، در نتیجه، ماده منفجره را کشف کرد.

۱.۱. اصول روش گامای آنی

پس از جذب یک نوترون حرارتی توسط یک هسته ایزوتوپ جدیدی با عدد جرمی یک واحد بیشتر به وجود می‌آید. این ایزوتوپ به طور آنی (در مدت زمانی از مرتبه 10^{-12} ثانیه) یک پرتوی گامایی که خاص آن هسته است، گسیل می‌کند. انرژی گامای تابشی مساوی با انرژی جدایی نوترون از هسته جدید است



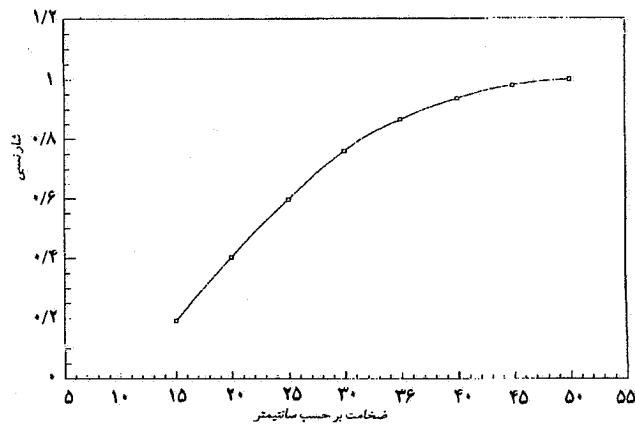
معمولأً هر عنصر پس از جذب نوترون چند پرتوگامای آنی باشد تهای متفاوت گسیل می‌کند که از میان آنها پرتوهایی که دارای شدت و انرژی بیشتری بوده و با پرتوهای گامای ناشی از عناصر دیگر تداخل نمی‌کنند برای شناسایی آن عنصر مورد استفاده قرار می‌گیرند. قدرت نفوذ زیاد نوترون و گاما در ماده سبب می‌شود که این روش، PGNAA^1 ، برخلاف بسیاری از روشهای اندازه‌گیری دارای خصوصیات مهمی باشد، از جمله آنالیز مواد در نمونه حجیم، آنالیز فوری در محل، غیرمخرب بودن روش و عدم نیاز به آماده سازی قبلی نمونه. از سوی دیگر، با توجه به اینکه پرتوهای گامای آنی بلاfaciale پس از جذب نوترون در هسته گسیل می‌شوند مشکل ناشی از نیم عمرهای خیلی کوتاه و خیلی بلند مطرح نیست و کلیه عناصری که سطح مقطع جذب ماکروسکوپی پایین نداشته و دارای پرتوهای گامای آنی با شدت مناسب باشند توسط این روش قابل شناسایی می‌باشند. در اغلب عناصر، سطح مقطع جذب نوترونهای حرارتی خیلی بیش از سطح مقطع پراکندگی ناکشسان نوترونهای سریع است، و اغلب پرتوهای گامای آنی عناصر در گستره $3 \text{ to } 11 \text{ MeV}$ می‌باشند. چون پرتوهای گامای آنی در مقایسه با پرتوهای گامای تأخیری، انرژی بیشتر دارند، لذا اکثر قلهای موجود در طیف، مربوط به پرتوهای گامای آنی ناشی از جذب نوترونهای حرارتی اند.

۲.۱. روش PGNAA برای تشخیص مواد منفجره شیمیایی

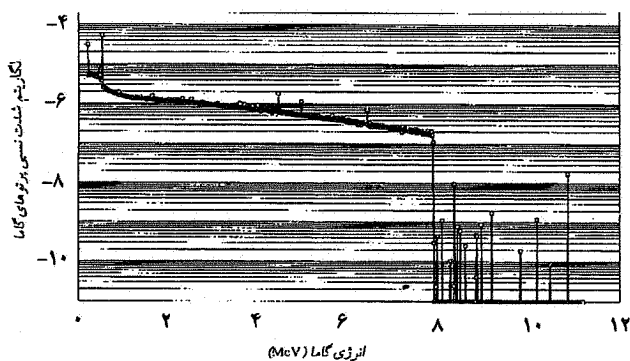
یکی از کاربردهای PGNAA، آنالیز فوری مواد منفجره شیمیایی است و، به این ترتیب، می‌توان از آن در فرودگاهها و

نوترونهای حرارتی تا ضخامت ۳۰ سانتیمتر به سرعت، و از ۳۰ تا ۵۰ سانتیمتر به آرامی افزایش می‌یابد، و از آن پس تغییر نمی‌کند. بنابراین ضخامت ۳۰ تا ۴۰ سانتیمتر گرافیت به عنوان کندکننده در هر طرف کاواک مناسب است این ضخامت برای کندکننده پارافین حدود ۱۵ تا ۲۰ سانتیمتر است. آنچه که برای کاهش اثر انباشت مهم است، کاهش نسبت قله کربن به قله ازت برای کندکننده گرافیت و کاهش نسبت قله هیدروژن به قله ازت برای کندکننده پارافین است. محاسبات نشان داد که با افزایش ضخامت گرافیت تا حدود ۴۰ سانتیمتر ارتفاع قله گامای $4/43 \text{ MeV}$ کربن تغییر نمی‌کند اما قله ازت تا 10 eV برابر افزایش می‌یابد. شکل‌های ۲ و ۴، به ترتیب، معرف نتیجه محاسبات برای ضخامت‌های ۴۰ و ۲۰ سانتیمتر گرافیت هستند.

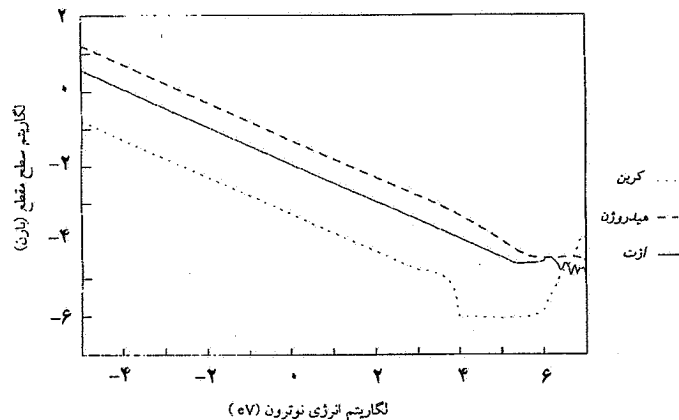
ساخترهای برجسته این طیفها عبارت‌اند از قله تولید زوج ساختارهای $0/0\text{eV}$ ، دو گامای ناشی از فعال شدن سدیم



شکل ۲. تغییرات نسبی شار نوترونهای حرارتی درون کاواک گرافیت در بازه انرژی $0/0\text{eV}$ تا 10eV .



شکل ۳. طیف محاسباتی انرژی پرتوهای گاما برای 40cm گرافیت.



شکل ۱. سطح مقطعهای (n,γ) برای ازت، هیدروژن، و کربن [۴].

سازی مونت کارلو با استفاده از کد محاسباتی MCNP^۱، انجام گرفته است. کد MCNP تراپرد نوترون، فوتون و الکترون را به روش مونت کارلو دنبال کرده و نتایج تراپرد ذره را به صورت تابعی از مکان و انرژی ارائه می‌دهد [۲].

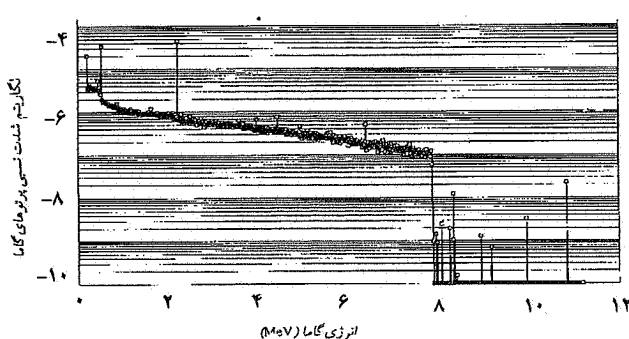
کد MCNP 4A یکی از جامعترین کدهایی است که قابلیتهای گسترده‌ای برای حل مسایل تراپرد نوترون، فوتون، الکترون و الکترون امکان‌پذیر است.

۱.۲. انتخاب کندکننده

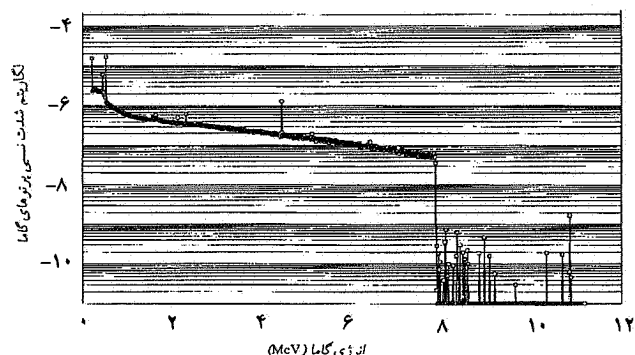
مطابق شکل ۱ چون بهره واکنش (n,γ) برای نوترونهای حرارتی خیلی بالاست [۴]، و سطح مقطع ازت برای این واکنش نیز زیاد است لذا لازم است که برای افزایش شدت پرتوهای گامای حاصل از نمونه ازت، شار نوترونهای حرارتی روی نمونه بیشتر بشود. از سوی دیگر ملاحظه می‌کنیم که سطح مقطع واکنش یاد شده برای کربن، 100 eV برابر نسبت به هیدروژن کاهش می‌یابد. لذا از این نظر استفاده از کندکننده گرافیت برای کاهش اثر زمینه مناسب است.

برای دست‌یابی به یک دستگاه بهینه، نمونه را وسط کاواکی به ابعاد $(30\text{cm}) \times (30\text{cm}) \times (30\text{cm})$ قرار داده و اطراف آن را با ضخامت‌های مختلفی از گرافیت پوشش می‌دهیم. چشمۀ نوترونی Am-Be در زیر نمونه و چسبیده به آن قرار دارد. سپس با استفاده از کد MCNP شار نوترونهای حرارتی روی نمونه را برای ضخامت‌های متفاوت گرافیت محاسبه می‌کنیم. تغییرات شار نوترونهای حرارتی بر حسب ضخامت گرافیت در شکل ۲ نشان داده شده است. همان طور که مشاهده می‌کنیم شار

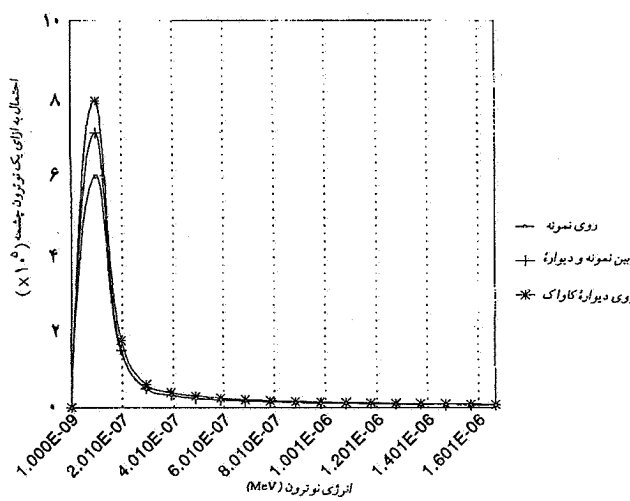
1. Monte Carlo N-Particle Transport Code



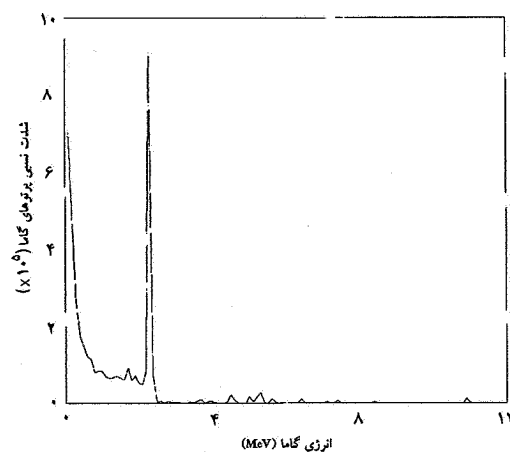
شکل ۵. طیف محاسباتی انرژی پرتوهای گاما برای ۲۰ cm پارافین.



شکل ۴. طیف محاسباتی انرژی پرتوهای گاما برای ۲۰ cm گرافیت.



شکل ۶. شار نوترونهای حرارتی درون کاواک گرافیت به ازای مکانهای مختلف چشممه.



شکل ۷. طیف انرژی پرتوهای گاما برای کندکننده پارافین.

۱/۳۶۹ MeV و ۲/۷۵۴ MeV ناکشسان کرین (۴/۴۳ MeV)، سرب (۶/۸۶ MeV)، ازت (۱۰/۸۳ MeV) و قله‌های دیگری مربوط به این مواد می‌باشند. در شکل ۳ قله ۳ کرین متناظر با 2×10^{-6} (احتمال تولید گاما به ازای یک نوترون) و قله ازت متناظر با 2×10^{-8} است که نسبت این دو برای ۴۰ سانتیمتر گرافیت ۱۰۰ است. اما در شکل ۴، قله ۴ کرین تقریباً عدد 2×10^{-6} ثابت می‌ماند اما قله ازت به 2×10^{-9} افزایش می‌یابد و، در نتیجه، نسبت پیش گفته برای ضخامت ۲۰ سانتیمتری گرافیت ۱۰ بار بیش از حالتی است که از ضخامت ۴۰ سانتیمتری گرافیت استفاده کنیم.

همان طور که در شکل ۵ نشان داده شده است برای محیطی با ضخامت ۲۰ سانتیمتر کندکننده پارافین، ارتفاع قله ازت در بهترین حالت 2×10^{-8} به ازای یک نوترون چشممه می‌رسد اما ارتفاع قله هیدروژن در این حالت بسیار بالا و از مرتبه 4×10^{-5} است.

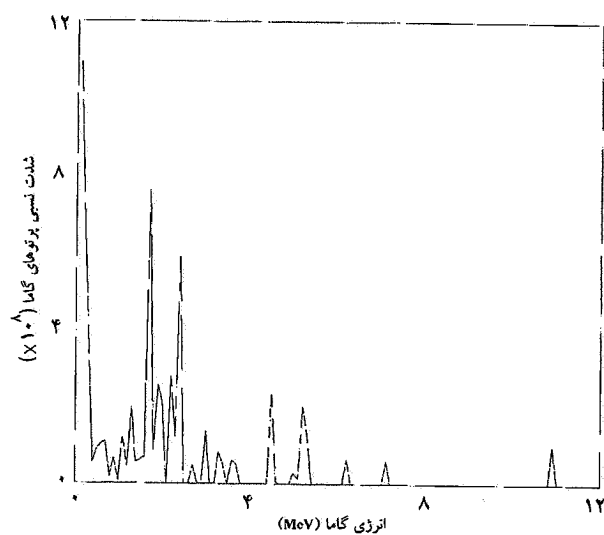
بنابراین هرگاه از کندکننده پارافین استفاده کنیم، نسبت قله ۲/۲۳ MeV به ازت $10/83$ است برای بهترین ضخامت پارافین یعنی حدود ۲۰ سانتیمتر، تقریباً ۱۰۰۰ است. لذا اثر انبساط در کندکننده پارافین بیش از گرافیت است.

شار نوترونهای حرارتی روی نمونه هنگامی که چشممه به نمونه چسبیده باشد بیشینه است، زیرا در این وضعیت، علاوه بر کند شدن نوترونها سریع، نوترونها کند چشممه نیز موثر خواهند بود. شار نوترونهای حرارتی روی نمونه، به ازای مکانهای مختلف چشممه در درون کاواک در شکل ۶ رسم شده است. از مقایسه شکل‌های ۷، ۸ و ۹ که به ترتیب طیفهای انرژی محاسبه شده را برای کندکننده‌های پارافین، گرافیت، و آب

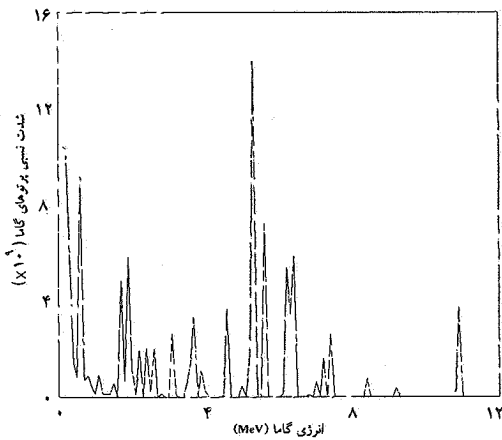
جدا کرد. کاربست آشکارسازهای نیمرسانای HPGE، که قدرت تفکیک بسیار بالایی دارند، به علت مشکلات ناشی از تحریم هسته‌ای ایران و محدودیتهای مالی و فنی، از جمله لزوم کاربرد زمزها و آسیب پذیری بیشتر بلورهای HPGE در مقایسه با NaI، و افت قدرت تفکیک در نتیجه این آسیب، میسر نبود. لذا تصمیم گرفته شد که از آشکارسازهای NaI استفاده شود.

۳.۲. مواضع پهینه برای چشممه، آشکارساز، و نمونه

با محاسبات مونت کارلو نشان داده‌ایم که شار نوترون با دور شدن از چشممه کاهش می‌یابد بنابراین شدت پرتوهای گامای آنی حاصل از گیراندازی یا پراکندگی ناکشسان نوترون با عناصر مختلف محیط در نزدیکی چشممه بیشتر است با دور شدن از چشممه، همراه با کاهش شار نوترون، میزان تولید پرتوهای گامای آنی نیز کاهش می‌یابد و اثر زمینه کم می‌شود. از سوی دیگر، همان گونه که پیش از این مذکور شدیم، شار نوترونهای حرارتی روی نمونه وقتی بیشینه است که چشممه به نمونه چسبیده باشد زیرا در این وضعیت شار نوترونهای حرارتی روی نمونه عبارت از حاصل جمع شار نوترونهای حرارتی چشممه و شار نوترونهای حرارتی حاصل از پراکندگی کشسان نوترون با کندکننده خواهد بود. از آنجاکه میزان تولید پرتوهای گامای آنی حاصل از گیراندازی نوترونهای کند در نمونه با افزایش شار این نوترونها بالا می‌رود، و با توجه به اینکه هر چه میزان شمارش پرتوهای گامای آنی بیشتر باشد زمان لازم برای اندازه‌گیری و تحلیل طیف کاهش می‌یابد، بهتر آن است که تا حد امکان چشممه به نمونه نزدیک باشد. از طرف دیگر، هر چه از نمونه دورتر شویم شدت پرتوهای گاما کاهش می‌یابد. هر چه آشکارساز به نمونه نزدیکتر باشد شدت پرتوهای گامای آنی حاصل از نمونه نیز بیشتر می‌شود که مناسب منظور ماست، اما اگر این امر متراوف با احاطه بیشتر آشکارساز با کندکننده باشد، شدت پرتوهای گامای آنی حاصل از کندکننده و مواد دیگر نیز افزایش می‌یابد که مناسب منظور ما نیست زیرا منجر به افزایش زمینه می‌شود. آنچه که مهم است، افزایش نسبت گاماهای آنی حاصل از ازت به گاماهای حاصل از کندکننده است. با محاسبات مونت کارلو و تغییر مکان آشکارساز نسبت به نمونه نتیجه گرفتیم که بهترین حالت، نزدیکی آشکارساز به نمونه است و باید وضعیت بهیتهای را انتخاب کرد که تا حد امکان آشکارساز به نمونه و نمونه به چشممه نزدیکتر باشند.



شکل ۸. طیف انرژی پرتوهای گاما برای کندکننده گرافیت.



شکل ۹. طیف انرژی پرتوهای گاما برای کندکننده آب سنگین.

سنگین نشان می‌دهند، به این نتیجه می‌رسیم که آب سنگین بهترین کندکننده است زیرا دارای کمترین اثر انباشت می‌باشد، اما به دلیل گرانی و دسترس ناپذیری آن از پارافین و گرافیت استفاده می‌کنیم.

۴.۲. انتخاب آشکارساز

گسترده‌گی طیف انرژی پرتوهای گامای آنی هر یک از عناصر موجود در نمونه و محیط، سبب می‌شود که قله‌های زیادی در طیف ظاهر شوند. از سوی دیگر، با توجه به انرژی بالای پرتوهای گامای آنی (۱۱ تا ۳۲ MeV)، علاوه بر قله اصلی هر پرتو گاما، قله‌های انرژی تک - فراری و دو - فراری نیز در طیف ظاهر می‌شوند. بنابراین، در روند طیف سنجی باید قدرت تفکیک آشکارسازها خیلی بالا باشد که بتوان این قله‌ها را از هم

هر کوری چشمۀ Am-Be در حدود $2 \times 10^6 \text{ n/s}$ تولید می‌کند، بسته به مقدار فعالیت چشمۀ و مدت زمان مناسب برای بهره برداری از آشکارساز، می‌توان فاصلۀ چشمۀ تا آشکارساز را تنظیم کرد.

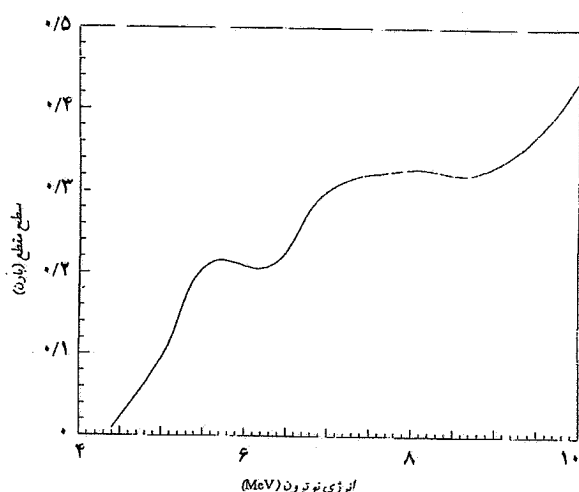
۵.۲ نقش چشمۀ

سطح مقطع اکثر عناصر با نوترون در انرژی‌های پایین به صورت $\frac{1}{n}$ تغییر می‌کند و مقدار آن در انرژی‌های بالا بسیار کم است. بنابراین، بیشتر پرتوهای گاما از گیراندازی نوترونهای حرارتی تولید می‌شوند. اگرچه نوترونهای سریع نیز می‌توانند جذب شوند ولی احتمال جذب نوترونهای حرارتی به مراتب بیشتر است. سطح مقطع جذب نوترون در ناحیۀ حرارتی به طور متوسط $10^{-3} \text{ تا } 10^{-4}$ بار از سطح مقطع جذب برای نوترونهای سریع بیشتر است. بنابراین، هر چه متوسط انرژی چشمۀ نوترون پایین‌تر باشد شار نوترونهای حرارتی افزایش یافته، و به این ترتیب، بازدهی چشمۀ برای تولید پرتوهای گاما‌ی آنی ناشی از گیراندازی نوترونهای حرارتی افزایش خواهد یافت. چون چشمۀ‌های (α, n) ، مانند Am-Be چشمۀ‌های (f, n) مثل ^{252}Cf ، انرژی بالاتری دارند، لذا بازدهی کمتری برای تولید پرتوهای گاما‌ی آنی ناشی از گیراندازی نوترونهای حرارتی دارند ولی با توجه به انرژی متوسط MeV $4-4.5$ ، بازدهی آنها برای تولید پرتوهای گاما‌ی آنی ناشی از پراکنده‌گی ناکشسان نوترون بالاست. نوترونهای سریع، با برخوردۀای کشسان و ناکشسان انرژی خود را از دست داده و کند می‌شوند. در پراکنده‌گی ناکشسان، بخشی از انرژی نوترون صرف برانگیختگی هسته می‌شود و هسته هدف پس از برخورد، با گسیل یک یا چند پرتو گاما انرژی برانگیختگی خود را از دست می‌دهد. پراکنده‌گی ناکشسان فقط در صورتی رخ می‌دهد که نوترون انرژی لازم برای برانگیختن هسته را داشته باشد. مقدار انرژی آستانه برای هسته‌های سبک، در مقایسه با هسته‌های سنگین بیشتر است. برای مثال انرژی اولین تراز برانگیخته کربن $4/43 \text{ MeV}$ است. پرتوهای گاما‌ی ناشی از پراکنده‌گی ناکشسان در فاصله زمانی بسیار کوتاهی پس از برخورد از هسته گسیل و جزء پرتوهای گاما‌ی آنی محسوب می‌شوند. چون در اغلب عناصر، سطح مقطع جذب نوترونهای حرارتی خیلی بیش از سطح مقطع پراکنده‌گی ناکشسان با نوترونهای سریع است، اکثر قله‌های موجود در طیف، ناشی از جذب نوترونهای حرارتی هستند، اما عنصری مانند کربن دارای

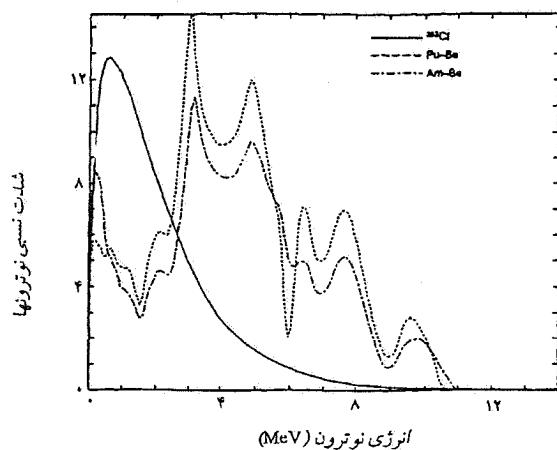
۴.۲. کاهش آسیب ناشی از تابش، و بهبود "زمینه" در آشکارساز در کارست آشکارساز NaI برای جمع آوری طیف گاما، باید توجه داشت که عدم استفاده از حفاظت مناسب می‌تواند آثار محرکی بر روی طیف، و خود آشکارساز داشته باشد، زیرا نوترونهای رسیده به آشکارساز اولاً، باعث نقص در بلور شده و توان تفکیک آشکارساز را خراب می‌کند [۳]، ثانیاً زمان مرده قدرت تفکیک آشکارساز را هم خراب می‌کند، لذا لازم است که حفاظت مناسبی روی آشکارساز قرار بگیرد، و فاصلۀ حداقلی برای حفاظت آشکارساز از نوترونهایی که پس از برخورد با محیط و پراکنده‌گی به آشکارساز می‌رسند رعایت شود. علاوه بر نوترون، پرتوهای گاما‌ی گسیل شده از چشمۀ نوترون نیز سبب بالا رفتن زمینه و افزایش زمان مرده دستگاه شمارش می‌شوند. بنابراین لازم است که تا حد ممکن از رسیدن این پرتوها به آشکارساز جلوگیری شود. ماده حفاظت باید چنان انتخاب شود که موجب کند شدن نوترونهای سریع و پراکنده‌گی آنها به سمت نمونه شود همچنین در صورت جذب نوترون، پرتوهای گاما‌ی دیگری تولید نکند تا موجب افزایش زمینه و مشکل‌تر شدن تحلیل طیف پرتوهای گاما‌ی آنی گردد.

برای حفاظت آشکارساز از برخورد نوترونهای سریع حفاظی روی آشکارساز قرار می‌گیرد که جنس آن از مواد کندکننده و جاذب نوترون باشد. مواد جاذب نوترون نیز چنان اختیار می‌شوند که علاوه بر سطح مقطع جذب بالا برای گیراندازی نوترونهای کند منجر به تولید پرتوهای گاما‌ی پرانرژی نگردد. ترکیبات بور نظیر اسیدبوریک با توجه به سطح مقطع بالای واکنش $^{7}\text{Li}(n,\alpha)^{10}\text{B}$ و سطح مقطع پایین واکنش گیراندازی $^{11}\text{B}(\gamma, n)^{10}\text{B}$ ، ماده جاذب مناسبی برای این منظور است. البته، همراه با گسیل ذره آفنا از هسته مرکب، ممکن است پرتو گاما نیز از این مواد گسیل شود ولی از آنجا که انرژی پرتوهای گاما‌ی گسیل شده پایین است مشکلی در طیف نهایی ایجاد نمی‌کند، و فقط زمان مرده را اندکی بالا می‌برد. به عنوان مثال، پرتوهای گاما‌ی حاصل از واکنش $^{7}\text{Li}(n,\alpha)^{10}\text{B}$ دارای انرژی 478 keV می‌باشند که با لایه نازکی از آلومینیم جذب می‌شوند. بنابراین، برای حفاظت آشکارسازها استوانه‌های سریاز مجوفی از اسیدبوریک به ضخامت ۱ سانتی‌متر در لفافهایی از آلومینیم به ضخامت ۲ میلی‌متر ساخته و بر روی آنها قرار دادیم.

مقدار شار نوترونهای حرارتی و سریع در محل آشکارسازها به میزان فعالیت چشمۀ بستگی دارد، و با توجه به اینکه برخورد تقریباً 10^9 n/cm^2 موجب تخریب آشکارسازها می‌شود [۳] و



شکل ۱۰. سطح مقطع پراکندگی ناکشسان نوترون با کربن [۴].

شکل ۱۱. طیف انرژی چشممه کالیفرنیم - ۲۵۲ و چشممه های ایزوتوبی (α, n) [۵].

۱.۳. مدار آزمایش

اگر یک MCA و چند آشکارساز داشته باشیم به کمک یک چندراهی رابط حافظه MCA را به دو یا سه یا چند قسمت تقسیم می‌کنیم و هر کدام را به یک آشکارساز اختصاص می‌دهیم. مدار آزمایش در شکل ۱۳ نمایش داده شده است.

۲.۳. مدرج سازی سیستم آشکارساز

در مدرج کردن آشکارسازها، از چشممه های کم انرژی ^{60}Co با دو گامای $1/33 \text{ MeV}$ و $1/17 \text{ MeV}$ و ^{137}Cs با $2/222 \text{ MeV}$ و $2/43 \text{ MeV}$ و کربن با انرژی $2/664 \text{ MeV}$ و همچنین از قله های گامای هیدروژن با انرژی $0/664 \text{ MeV}$ در صورت

سطح مقطع جذب پایینی است و لذا گامای آنی ناشی از جذب نوترون در کربن کم است، و از این رو کندگنده گرافیت در مقایسه با پارافین یا آب، برای کاهش اثرات زمینه مناسبتر است. از سوی دیگر، میزان حساسیت آشکارسازی پرتوهای گامای آنی ناشی از پراکندگی ناکشسان نوترون کاملاً به انرژی نوترونهای فرودی بستگی دارد (شکل ۱۰) [۴]. هر چه انرژی نوترون افزایش یابد پرتوهای گامای آنی حاصل از پراکندگی ناکشسان نوترونهای سریع توسط کربن نیز زیادتر می‌شوند. با افزایش انرژی نوترون، قله های موجود در طیف بزرگتر شده و میزان شمارش ناشی از زمینه نیز به این ترتیب بیشتر، و قدرت تفکیک آشکارساز کمتر و زمان مرده آن بیشتر می‌شود و بازده آشکارساز کاهش می‌یابد.

چشممه ^{252}Cf ، با توجه به میانگین انرژی نوترون پاییتر نسبت به چشممه های (α, n) ، برای تولید پرتوهای گامای آنی ناشی از گیراندازی نوترون در تمونه مناسبتر است، و تولید پرتوهای گامای آنی ناشی از پراکندگی ناکشسان نوترون از کربن نیز در آن کمتر است. به این ترتیب، به دو دلیل زمان مرده کاهش یافته و بازده بالاتر می‌رود، و چشممه های شکافت خودخودی مانند ^{252}Cf عملای دارای بازده بالاتری برای آشکارسازی قله های ازت نیستند. طیفهای انرژی سه چشممه ^{252}Cf و Pu-Be و Am-Be در شکل ۱۱ رسم شده اند [۵].

۳. اقدامات تجربی

براساس محاسبات انجام شده، نمونه را وسط کاواکی به ابعاد $30 \times 30 \times 30$ (سانتیمتر مکعب)، که اطراف آن را از هر سو 30 سانتیمتر گرافیت فراگرفته است، قرار می‌دهیم، آشکارسازها، که همه دارای حفاظت اسیدبوریک هستند، به گونه‌ای داخل تونل های منتهی به کاواک قرار می‌گیرند که وجه جلو هر یک از آنها مماس بر لبه کاواک باشد. تعداد آشکارسازها سه تا، نوع آنها سوسوزن $\text{NaI}(\text{TI})$ و ابعاد دو تای آنها $3 \times 3 \times 5$ ، و یکی از آنها $5 \times 5 \times 5$ است که به طور متقاض نسبت به نمونه قرار می‌گیرند. از بالای مجموعه گرافیت، تونلی منتهی به کاواک تعییه شده است که بتوان چشممه را روی نمونه قرار داد. مطابق شکل ۱۲ خروجی هر آشکارساز، پس از تقویت، به یک ADC، و خروجی ADC ها به MCA داده می‌شوند تا بتوان به طور همزمان طیفهای انرژی گامای هر آشکارساز را در MCA ثبت کرد. هر ADC زمان مرده هر آشکارساز را نیز نشان می‌دهد. ابتدا دستگاه آشکارسازی را با مراحل زیر آماده کردیم.

اختلاف بالاتر بودن کارایی نوری سلول "۳" از سلول "۵" است.

۴.۳. انطباق طیفها، و رفع مشکلات جمع آوری داده‌ها

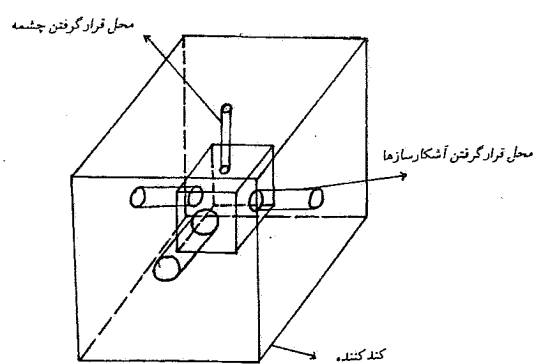
با تغییر بهره تقویت تقویت کننده‌ها سعی شد هر سه طیف انرژی آشکارسازها در MCA تا حد مطلوبی بر هم منطبق شوند. پس از آماده سازی دستگاه آشکارسازی و قبل از شروع آزمایش، دستگاه را به مدت ۲ ساعت روشن کردیم تا افت و خیزهای قله‌های مربوط به طیفها در اثر تغییر دمای دستگاه الکترونیک به حداقل برسد. آزمایش را با یک کیلوگرم اوره ($\text{CH}_4\text{N}_2\text{O}$) که حاوی ۲۸٪ یا حدود ۴۶٪ یعنی ۴۶ گرم ازت است شروع کردیم. در ابتدا مشاهده شد که زمان مرده آشکارسازها بالاست: زمان مرده آشکارسازهای "۵" و "۳" به ترتیب حدود ۹٪ و ۵٪ بود. قدرت تفکیک آشکارسازها نیز نامطلوب بود، به طوری که سه قله تمام - انرژی، تک - فراری و دو - فراری مربوط به گامای $4/43 \text{ MeV}$ کرین به صورت یک قله پهن ظاهر می‌شدند، و در ناحیه ازت یعنی از انرژی ۹ تا ۱۱ MeV نیز هیچ قله‌ای مشاهده نمی‌شد (شکل ۱۴).

مشکل دیگر، فعال شدن آشکارسازها بود. ۱ ساعت پس از شروع آزمایش، زمان مرده آشکارسازها بالاتر رفت و در مورد آشکارسازهای "۳" به ۸٪ رسید. علت این بود که با وجود حضور حفاظ اسیدبوریک، به علت شار بالای نوترون آشکارسازها فعال می‌شدند. لذا نتیجه گرفتیم که، اولاً، باید کاری کرد که اثر انباست تپها کاهش یابد تا زمان مرده کم شود و ثانیاً مکان چشممه و آشکارسازها را باید به گونه‌ای تنظیم کرد که آشکارسازها فعال نشوند.

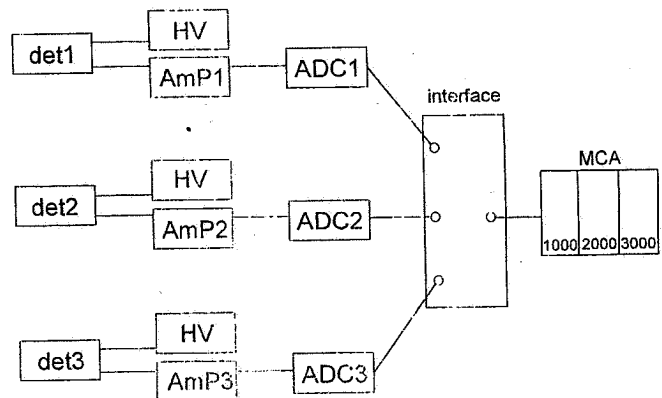
۵.۳. حذف گاماهای مزاحم

۵.۳.الف. گاماهای کندکننده

اولین اقدام برای کاهش اثر انباست تپها، کاهش زمینه است. یکی از مسایلی که تحلیل طیف پرتوهای گامای آنی را با مشکل مواجه می‌سازد بالا بودن سطح زمینه حاصل از پراکنده‌گی کامپتون است. این مسئله، که موجب بالا رفتن میزان شمارش می‌شود، هم قدرت تفکیک آشکارساز را کم می‌کند و بر شناسایی قله‌های فتوالکتریک اثر می‌گذارد و هم زمان مرده آشکارساز را بالا می‌برد. بنابراین باید حفاظی برای آشکارساز گاما پیش بینی کرد که پرتوهای تداخل کننده با طیف اصلی را تا حد مطلوبی کاهش دهد. هدف اصلی استنار آشکارسازها، کم کردن تابش زمینه، بخصوص در نواحی طیف ازت است. زمینه



شکل ۱۲. طرحواره دستگاه آزمایش.



شکل ۱۳. مدار آزمایش.

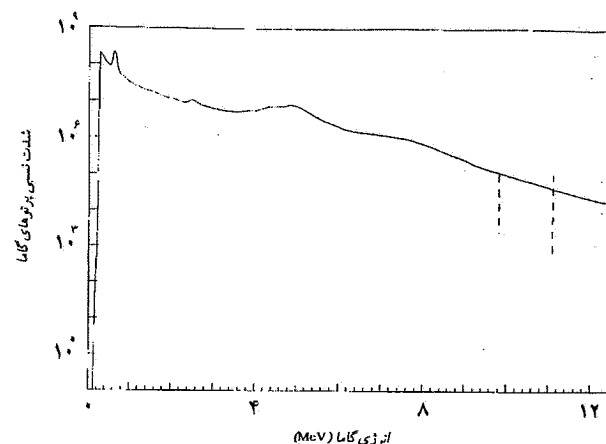
لزوم، از تپ ساز استفاده می‌کنیم، و با تنظیم عبور از صفر ADC، عرض از مبدأ خط انرژی - کانال را تا حد امکان به صفر نزدیک می‌کنیم.

۳.۳. جلوگیری از اشباع تپها

یک مشکل عملی که در مدرج سازی دستگاه بروز می‌کند، جایی ناحیه ازت به سمت انرژیهایی کمتر، به اندازه ۱ MeV است. این جایه جایی ناشی از اشباع شدن تپهای مربوط به گاماهای پرانرژی است، و نتیجه آن برهم خوردن رابطه خطی بین شماره کانال و انرژی فوتون در انرژیهای بالای گاماست. این اثر معلوم اشباع جریان در PMT است، و با کاهش اختلاف پتانسیل منبع تغذیه می‌توان از آن جلوگیری کرد. با این همه، این کار به افت قدرت تفکیک آشکارسازها می‌انجامد. لذا باید شرایط بهینه‌ای را یافت که "اشباع شدگی" حداقل، و قدرت تفکیک مطلوب باشد. برای آشکارسازهای "۵" و "۳" اختلاف پتانسیل مناسب به ترتیب $+750$ و $+700$ ولت است. علت این

۵ هستند، یعنی بیشترین نوترونها، هسته کربن را در حالت برانگیخته رها می‌کنند و کربن برانگیخته با آزادسازی حدود ۶ تا ۷ MeV در قالب گسیل گاما، به حالت پایه می‌رسد. بنابراین، گاماهای اصلی طیف Am-Be که تا چند MeV ادامه دارند از واپاشی $^{12}\text{C}^*$ حاصل می‌شوند و دارای انرژی بالا و فراوانی زیادی هستند. پرتوهای گاماگی گسیل شده از چشمۀ در صورت رسیدن به آشکارساز موجب بالا رفتن میزان شمارش و افزایش زمان مرده آشکارساز می‌شوند، لذا برای جلوگیری از این امر، چشمۀ ^{30}cm Am-Be را با غلافی سربی به ضخامت ۳ cm پوشاندیم. این امر باعث شد که آهنگ شمارش و اثر انباشت گاماهای کم، و قدرت تفکیک آشکارسازها برای چشمۀ سزیم از ۰.۸٪ به ۰.۷٪ بررسد. با این پیکربندی چشمۀ، و پوشش سربی آشکارسازها و سطح داخلی کاواک، زمان مرده دستگاه حدود ۲۰٪ کاهش یافت، اما باز هم به حد مطلوب نرسید. برای رسیدن به وضعیت بهینه، فاصلۀ چشمۀ تا آشکارساز را زیاد کردیم، و با تغییر مکان آشکارساز و چشمۀ به این نتیجه رسیدیم که بهترین وضعیت حالتی است که چشمۀ مماس بر لبه بالایی کاواک و نمونه در مرکز کاواک قرار بگیرد، و آشکارسازها نیز ۳۰ سانتیمتر از لبه کاواک فاصله بگیرند، یعنی آشکارسازها خارج از بدنه گرافیت واقع شوند. با افزودن یک لایه ۱ سانتیمتری سرب به جداره داخلی تونلهای متنهی به حفره، سطح زیر منحنی ناحیه ازت ۱۲٪ افزایش یافت. در این وضعیت، طیفهای حاصل از آشکارسازهای ۳ خیلی بهبود یافتد و قله‌های مربوط به گرافیت با قدرت تفکیک بسیار خوب ظاهر شدند و قله‌های مربوط به ازت نیز در ناحیه ازت شکل گرفتند (شکل ۱۵). اما باز هم قدرت تفکیک آشکارساز ۵ مطلوب نبود، لذا به جای آن از آشکارساز ۲ استفاده کردیم.

۴. انجام آزمایش، داده برداری، و تحلیل داده‌ها
بلوکهای بزرگ گرافیت مورد نیاز برای کندرسازی نوترونها سریع از کارخانه تهیه زغالهای صنعتی در شهرستان قم خریداری و به قطعات کوچک برش داده شدند. برش قطعات به گونه‌ای بود که ضخامت کنده‌کننده اطراف کاواک از همه طرف ۳۰ cm بشود. پس از آماده سازی دستگاه آزمایش و ایجاد همه شرایط بهینه، طیف انرژی هر سه آشکارساز برای مدت ۴۰ ساعت جمع آوری گردید. آزمایش، سه مرتبه در شرایط یکسان، به ازای ۱ کیلوگرم، ۲ کیلوگرم، و ۳ کیلوگرم اوره یا، به ترتیب، ۴۶۰، ۹۲۰، و ۱۳۸۰ گرم ازت انجام شد و هر بار طیف انرژی



شکل ۱۴. طیف انرژی پرتوهای گاما برای ^{30}cm گرافیت.

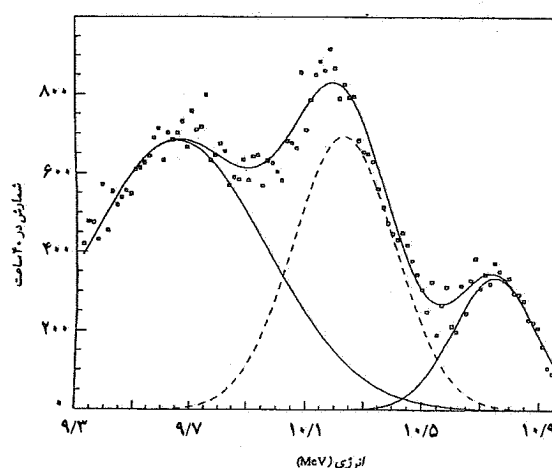
ناحیه ازت اغلب ناشی از انباشت انرژی دو یا چند گاما است که در بازۀ زمانی فرایش هر تپ به آشکارساز می‌رسند. به عنوان مثال، از انباشت دو گاما $^{4/43}\text{MeV}$ کربن در آشکارساز، به طوری که برای آشکارساز، از نظر زمانی، قابل تفکیک نباشد، یک تپ در نزدیکی ناحیه ازت ثبت می‌شود. این حفاظ معمولاً از جنس عناصر سنگین نظیر سرب و بیسموت است. در این آزمایش، برای کاهش زمینه، سطح جانبی آشکارسازها را با ۱ سانتیمتر سرب، و جداره داخلی تونلها و سطح داخلی کاواک را با ۰.۵ سانتیمتر سرب پوشاندیم، اما بین وجه جلو آشکارسازها و نمونه درون کاواک هیچ مانع وجود نداشت.

۴.۵.۳. گاماهای چشمۀ

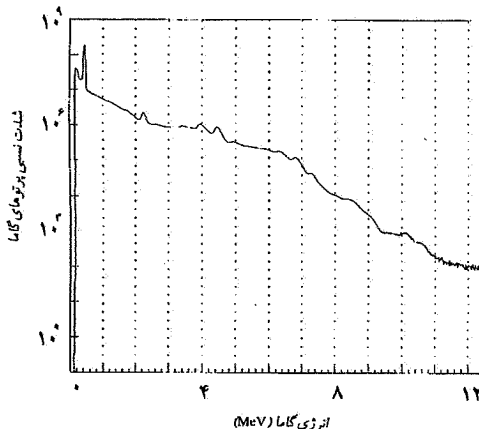
عامل دیگری که در افزایش پرتوهای زمینیه و اثر انباشت بسیار مؤثر است، پرتوهای گاما چشمۀ Am-Be است. این پرتوها، ناشی از گیراندازی نوترون توسط بریلیم و سازه‌های چشمۀ، پرتوهای گسیل شده از آمرسیم، و پرتوهای حاصل از واکنش $^{12}\text{C}(\alpha, n)$ هستند. انرژی پرتوهای گاما ناشی از عنصر ^{241}Am پایین، اما شدت آنها بالاست و اثر انباشت پرتوها را افزایش می‌دهد. از سوی دیگر، براساس طیف انرژی نوترونها حاصل از چشمۀ Am-Be، شکل ۱۱، انرژی نوترونها از ۰ تا ۱۰ MeV توزیع شده‌اند. طبق واکنش زیر



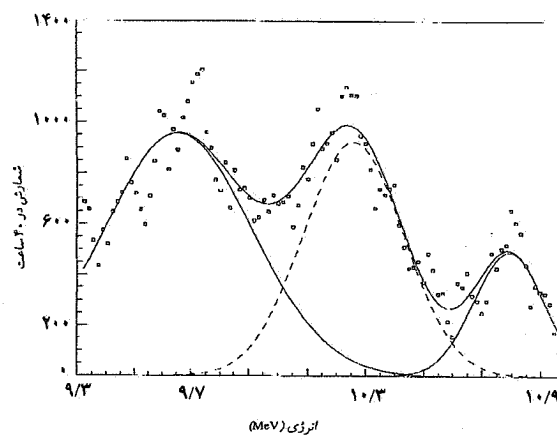
نوترونها با انرژی ۱۰ MeV، و فراوانی کم، حاصل واکنشی هستند که در آن کربن در حالت پایه رها شده است و طبق طیف انرژی، بیشترین نوترونها خروجی از چشمۀ دارای انرژی ۴ تا



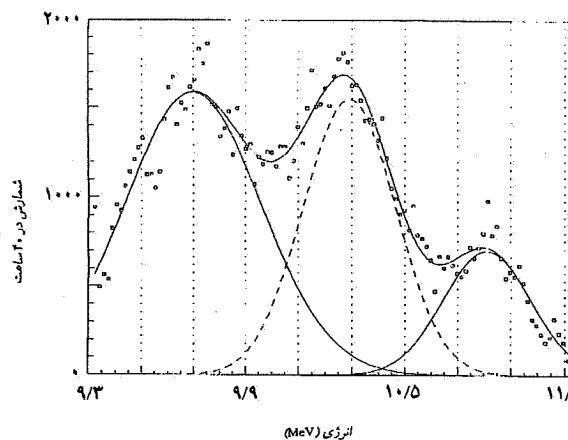
شکل ۱۵. طیف پرتوهای گاما در ناحیه ازت (مجموع برای ۴۶۰ گرم ازت).



شکل ۱۶. طیف ارزی پرتوهای گاما برای ۳۰ گرافیت.



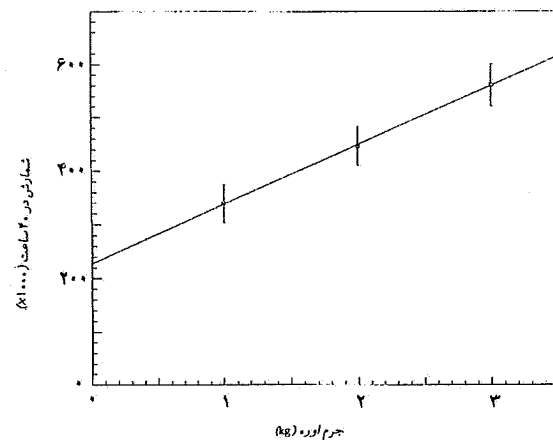
شکل ۱۷. طیف پرتوهای گاما در ناحیه ازت (مجموع برای ۹۲۰ گرم ازت).



شکل ۱۸. طیف پرتوهای گاما در ناحیه ازت (مجموع برای ۱۳۵۰ گرم ازت).

پرتوهای گاما مربوط به هر سه آشکارساز توسط سه ADC در حافظه MCA ضبط گردید. پس از آن به مدت ۴۰ ساعت طیف ارزی زمینه را، بدون حضور ازت در حفره، برای سه آشکارساز جمع آوری نمودیم. سپس طیف ارزی مربوط به زمینه دستگاه را که توسط هر یک از آشکارسازها جمع آوری شده بود، از طیف ارزی هر آشکارساز، به ازای هر یک از سه مقدار ازت کم کردیم. برای هر یک از مقدارهای فوق، ناحیه مربوط به ازت هر یک از آشکارسازها را با هم جمع کردیم و یک منحنی سه گاوی برای هر یک از طیفهای ارزی این ناحیه برآمد. شکل‌های ۱۶، ۱۷ و ۱۸، به ترتیب، برای ۴۶۰ و ۹۲۰ و ۱۳۵۰ گرم ازت رسم شده‌اند. با محاسبه سطح زیر منحنی هر یک از حالت‌های فوق بر حسب مقدار ازت یا اوره، خطی به دست آوردیم. در شکل ۱۹ حاصل جمع شمارش ناحیه ازت هر سه آشکارساز برای مدت ۴۰ ساعت رسم شده است. با توجه به نمودار مشاهده می‌کنیم که شمارش خالص ناحیه ازت بر حسب مقدار اوره یا ازت، به طور خطی زیاد می‌شود، اما این خط دارای عرض از مبدأ است یعنی با دو برابر شدن مقدار ازت، شمارش خالص ناحیه ازت دو برابر نمی‌شود. علت این امر آن است که برای کاهش اثر انباشت پرتوها، آشکارسازها بیرون بدنه گرافیت قرار دارند و آشکارسازها فقط بخشی از نمونه‌ها را، که در امتداد تونلها، درون کاوک واقع‌اند، می‌بینند. جداره داخلی کاوک به جز دهانه تونلها، دارای پوشش سربی است. با افزایش مقدار ازت، آشکارسازها کل نمونه را نمی‌بینند و گامای ازت در رسیدن به هر آشکارساز در زاویه قضایی کوچکتری قرار می‌گیرد. علاوه بر این، پرتوهای گاما باید ضخامت ۱ سانتیمتری سرب، و بیش از ۳۰ سانتیمتری گرافیت را نیز طی

"۲" و "۳" مناسب بود. با ایجاد همه شرایط مانند گذشته این بار نیز طیف انرژی پرتوهای گامای هرسه آشکارساز را به مدت ۴۰ ساعت به ازای ۴۶۰، ۹۲۰، و ۱۳۸۰ گرم ازت جمع آوری کردیم. سپس برای هر یک از مقدارهای فوق، ناحیه مربوط به ازت هر طیف را پس از کاستن زمینه، با هم جمع کردیم. سطح زیر منحنی هر یک از حالتها فوق به ازای قدرت ازت در جدول زیر درج شده است.



شکل ۱۹. منحنی شمارش کل ناحیه ازت بر حسب جرم ازت.

تعداد پرتوهای گامای ناحیه ازت	مقدار ازت (گرم)
۷۵۰۲۱	۲۶۰
۱۰۰۸۴۱	۴۲۰
۱۴۱۰۶۱	۱۳۸۰

همان گونه که مشاهده می‌شود، در این وضعیت نیز با دو برابر شدن ازت، شمارش ناحیه ازت دو برابر نمی‌شود اما ارتباط مقدار ازت و شمارش ناحیه ازت خطی است. با مقایسه مقادیر این جدول با مقادیر شکل ۱۹ به این نتیجه می‌رسیم که شمارش ناحیه ازت تغییر چندانی نمی‌کند و، از این نظر، استفاده از گرافیت یا پارافین به عنوان کندکننده تفاوتی ندارد. در وضعیت استفاده از کندکننده پارافین، نسبت به گرافیت، آشکارسازها حدود ۱۰ cm به نمونه نزدیکتراند و انتظار می‌رود با استفاده از پارافین شمارش ناحیه ازت بیشتر شود. اما تجربه تغییر چندانی را نشان نمی‌دهد. بنابراین به این نتیجه می‌رسیم که اگر بتوان اثر زمینه بر طیف انرژی پرتوهای گامای را کاهش داد و آشکارسازها را به نمونه نزدیکتر نمود، آنگاه کندکننده گرافیت از کندکننده پارافین مناسبتر خواهد شد.

کنند تا به پنجره آشکارساز برسند، و تعدادی از گاماهای ازت در راه رسیدن به آشکارساز جذب می‌شوند. لذا باید انتظار داشت که با دو برابر شدن ازت، شمارش ناحیه ازت نیز دو برابر شود. آزمایش، با کندکننده پارافین نیز تکرار شد. همانگونه که قبل از بیان شد، ضخامت مطلوب در مورد پارافین ۲۰ سانتیمتر است. جداره داخلی کاواک و تونلها سرب پوش، و دور آشکارسازها نیز علاوه بر اسید بوریک، از یک پوشش سربی برخوردار است. نمونه را وسط کاواک قرار دادیم و با تغییر محل آشکارسازها و چشم، شرایط بهینه را به دست آوردیم. پیکربندی دستگاه، مشابه وضعیت با کندکننده گرافیت بود، یعنی آشکارسازها خارج از بدنه پارافین، و وجه جلو آشکارسازها، مماس بر لبه تونل و چشم، مماس بر لبه کاواک قرار گرفت. در این وضعیت، قدرت تفکیک آشکارساز "۵" بد و قدرت تفکیک آشکارسازهای

مراجع

- John Willy & Sons, Inc., (1989).
4. JEF-PC Version 2.0 OECD Nuclear Energy Agency.
5. E A Lorch, *Int. J. Appl. Radiat. Isotopes* 24, 585 (1973).
1. K W Habiger, J R Clifford, R B Miller, Explosives detection with energetic photons, *Nucl. Instr. Meth. B56/57*, (1991).
2. J F Briesmeister, MCNP-A General Monte Carlo N-Particle Transport Code, Version 4A (1993).
3. G F Knoll, Radiation detection and measurement,